

однородной оболочки выражается через параметры деформации срединной поверхности, тогда как выражение потенциальной энергии неоднородной оболочки определяется теми же параметрами, но через деформации четырех поверхностей, определяемых центрами жесткости  $z_i$ ,  $i=1, 2, 3, 4$ . В самом деле, деформации  $\varepsilon_i + z_i \kappa_i$  и  $\varepsilon_i + z_4 \kappa_i$ ,  $i=1, 2$  не зависят от опорной поверхности и определяют деформации поверхностей, отстоящих от опорной на расстоянии  $z_i$ . Отсюда следует, что каждому типу деформации соответствует свой центр и своя поверхность. Влияние коэффициента Пуассона представлено центром  $z_4$  и жесткостями  $B_4, D_{44}$ . Поэтому при определении осевых деформаций имеем дело с двумя поверхностями, а при сдвигах и кручении — с одной.

Запишем приближенные значения усилий и моментов

$$\begin{aligned} T_1 &= B_1(\varepsilon_1 + z_1 \kappa_1) + B_4(\varepsilon_2 + z_4 \kappa_2) \\ M_1 &= D_{11} \kappa_1 + D_{44} \kappa_2 + B_1(\varepsilon_1 + z_1 \kappa_1) z_1 + B_4(\varepsilon_2 + z_4 \kappa_2) z_4 \end{aligned}$$

Отсюда следует, что усилие  $T_1$  является равнодействующей двух сил — силы  $B_1(\varepsilon_1 + z_1 \kappa_1)$  с центром приложения в точке  $z_1$  и силы  $B_4(\varepsilon_2 + z_4 \kappa_2)$  с центром приложения в  $z_4$ . Отсюда следует, что равнодействующая их будет иметь центр приложения

$$z_{11} = [B_1(\varepsilon_1 + z_1 \kappa_1) z_1 + B_4(\varepsilon_2 + z_4 \kappa_2)] T_1^{-1}$$

Момент можно записать в виде:  $M_1 = D_{11} \kappa_1 + D_{44} \kappa_2 + T_1 z_{11}$ .

Аналогичную запись будем иметь для второго направления

$$\begin{aligned} T_2 &= B_1(\varepsilon_1 + z_1 \kappa_1) + B_4(\varepsilon_2 + z_4 \kappa_2), \quad T_3 = B_3(\varepsilon_3 + z_3 \kappa_3) \\ M_2 &= D_{11} \kappa_1 + D_{44} \kappa_2 + T_1 z_{11}, \quad M_3 = D_{22} \kappa_2 + D_{44} \kappa_1 + T_2 z_{22}, \quad M_4 = D_{33} \kappa_3 + T_3 z_{33} \end{aligned}$$

Отметим, что при составлении разрешающих уравнений в усилиях и моментах вместо центров сил целесообразно использовать центры жесткостей, так как центры сил до решения упругой задачи неизвестны. В практических расчетах целесообразно за опорную поверхность принимать поверхность с одним из центров жесткостей. Тогда в уравнениях будут входить разности между центрами жесткости, причем эти разности составляют десятые — сотые доли толщины оболочки и, как показали многочисленные числовые расчеты неоднородных пакетов пластин и оболочек, имеют малое влияние на величины усилий и моментов. Поэтому в первом приближении этими величинами можно пренебречь и решать задачу типа однородной с минимальными жесткостными характеристиками.

Поступила 19 VII 1974

#### ЛИТЕРАТУРА

- Кармишин А. В. Уравнения неоднородных тонкостенных элементов на основе минимальных жесткостей. Прикл. механ., 1974, т. 10, вып. 6.
- Григорюк Э. И., Коган Ф. А. Современное состояние теории многослойных оболочек. Прикл. механ., 1972, т. 8, вып. 6.
- Новожилов В. В. Теория тонких оболочек. Л., Судпромгиз, 1962.
- Королев В. И. Упрогопластические деформации оболочек. М., Машиностроение, 1971.

УДК 539.3

#### УСТОЙЧИВОСТЬ ЦИЛИНДРИЧЕСКОЙ ОБОЛОЧКИ, ПОДКРЕПЛЕННОЙ РЕГУЛЯРНОЙ СИСТЕМОЙ КОЛЬЦЕВЫХ РЕБЕР РАЗЛИЧНОЙ ЖЕСТКОСТИ

И. С. МАЛЮТИН

(Москва)

Рассматривается устойчивость цилиндрической оболочки с дискретным подкреплением произвольным количеством кольцевых ребер следующей регулярной структуры. Ребра одного вида (параметры которых отмечаем индексом 2), расположены равномерно вдоль оболочки и посередине каждого из образующихся при этом участков расположены ребра другого вида (за ними закрепляется индекс 1). Для оболочки, находящейся под действием внешнего давления и осевых сил, получено характеристическое уравнение для определения критических параметров.

1. Пусть взаимодействие оболочки и ребер характеризуется погонными нормальными и тангенциальными (в плоскостях ребер) контактными усилиями. Тогда для рассматриваемой структуры подкрепления имеет место следующая система однородных алгебраических уравнений относительно амплитудных значений тангенциальных и нормальных перемещений оболочки в местах расположения ребер [1]:

$$\begin{aligned} f_{kr} = & 2B \sum_{i=1}^{m+1} \sum_{j=1}^4 \left[ \frac{\Delta_{2k}(s_j)}{\Delta'(s_j)} (a_{12}f_{2,2i-1} + b_{12}f_{3,2i-1}) - \right. \\ & \left. - \frac{\Delta_{3k}(s_j)}{\Delta'(s_j)} (a_{13}f_{2,2i-1} + b_{13}f_{3,2i-1}) \right] \Phi_j(x_r, x_{2i-1}) + 2B \sum_{i=1}^m \sum_{j=1}^4 \left[ \frac{\Delta_{2k}(s_j)}{\Delta'(s_j)} (a_{22}f_{2,2i} + b_{22}f_{3,2i}) - \right. \\ & \left. - \frac{\Delta_{3k}(s_j)}{\Delta'(s_j)} (a_{23}f_{2,2i} + b_{23}f_{3,2i}) \right] \Phi_j(x_r, x_{2i}) \quad (1.1) \\ \Phi_j(x, \xi) = & \operatorname{sh} s_j x \frac{\operatorname{sh} s_j(l-\xi)}{\operatorname{sh} s_j l} - \operatorname{sh} s_j(x-\xi) \sigma_0(x-\xi) \quad (h=2,3; r=1,2,\dots,2m+1) \end{aligned}$$

Здесь  $x_i = il/(m+1)$  — координата положения  $i$ -го ребра;  $2m+1$  — общее количество ребер;  $f_{ki} = f_k(x_i)$ ,  $f_2(x)$  и  $f_3(x)$  — амплитудные функции соответственно тангенциального  $v$  и нормального  $w$  перемещений точек срединной поверхности оболочки ( $v = f_2(x) \sin ny$ ,  $w = f_3(x) \cos ny$ ); первый индекс у величин  $a_{st}$  и  $b_{st}$ , связанных с параметрами ребер и начальными усилиями в них, соответствует типу ребер; остальные обозначения те же, что в работе [1].

Решение уравнений (1.1) ищем в виде

$$f_{h,2r-1} = A_h \sin(N\pi x_{2r-1}/l), \quad f_{h,2r} = B_h \sin(N\pi x_{2r}/l) \quad (1.2)$$

где  $N$  — целочисленный параметр, характеризующий форму потери устойчивости,  $1 \leq N \leq 2m+1$ .

Подставляя выражения (1.2) в уравнения (1.1) и производя необходимые суммирования, получим систему четырех однородных уравнений относительно  $A_h$  и  $B_h$  ( $k=2,3$ )

$$\begin{aligned} A_h = & A_2(a_{12}F_{2h} - a_{13}F_{3h}) + A_3(b_{12}F_{2h} - b_{13}F_{3h}) + B_2(a_{22}\Phi_{2h} - a_{23}\Phi_{3h}) + B_3(b_{22}\Phi_{2h} - b_{23}\Phi_{3h}) \quad (1.3) \\ B_h = & A_2(a_{12}\Phi_{2h} - a_{13}\Phi_{3h}) + A_3(b_{12}\Phi_{2h} - b_{13}\Phi_{3h}) + B_2(a_{22}F_{2h} - a_{23}F_{3h}) + B_3(b_{22}F_{2h} - b_{23}F_{3h}) \end{aligned}$$

$$\begin{aligned} F_{ih} = & B \sum_{j=1}^4 \frac{\Delta_{ik}(s_j)}{\Delta'(s_j)} \frac{\operatorname{sh} \alpha_j}{\operatorname{ch} \alpha_j - \cos \beta} \quad \left( \alpha_j = \frac{s_j l}{m+1}, \beta = \frac{\pi N}{m+1} \right) \\ \Phi_{ih} = & 2B \cos \frac{\beta}{2} \sum_{j=1}^4 \frac{\Delta_{ik}(s_j)}{\Delta'(s_j)} \operatorname{sh} \frac{\alpha_j}{2} \frac{1}{\operatorname{ch} \alpha_j - \cos \beta} \end{aligned}$$

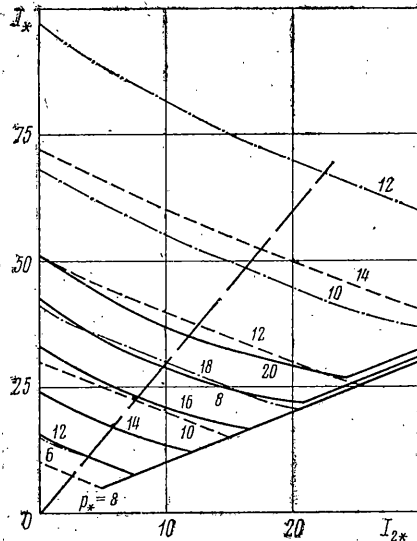
Величины  $F_{ih}$  и  $\Phi_{ih}$  могут быть представлены также в виде (при сохранении ниже для величин под знаком суммы обозначений работы [1])

$$\begin{aligned} F_{ih} = & B \frac{m+1}{l} \sum_s \frac{\omega_{ih}(\gamma_s)}{\omega(\gamma_s)}, \quad \Phi_{ih} = B \frac{m+1}{l} \sum_s (-1)^r \frac{\omega_{ih}(\gamma_s)}{\omega(\gamma_s)} \\ s = & N, 2r(m+1) \pm N \quad (r=1,2,\dots) \end{aligned}$$

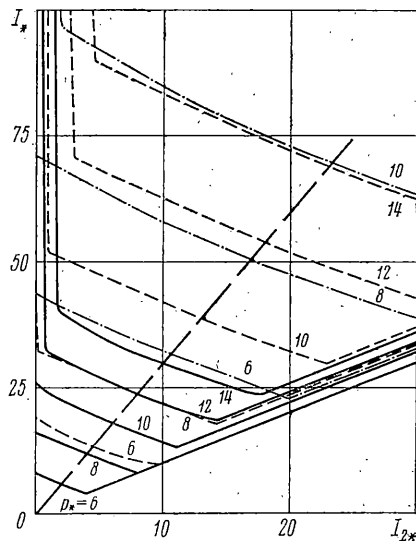
Приравнивая нулю определитель системы (1.3), получаем характеристическое уравнение. Придавая параметру  $N$  различные целочисленные значения, находим критическую нагрузку (наименьшее значение) или при заданной нагрузке критическую величину, например, жесткости ребер (наибольшее значение).

Остановимся на некоторых частных случаях. Прежде всего отметим, что в случае одинаковых ребер  $a_{1k} = a_{2k}$ ,  $b_{1k} = b_{2k}$ ,  $A_k = B_k$ , и система четырех уравнений (1.3) сводится к двум уравнениям, из которых следует характеристическое уравнение, полученное в работе [1].

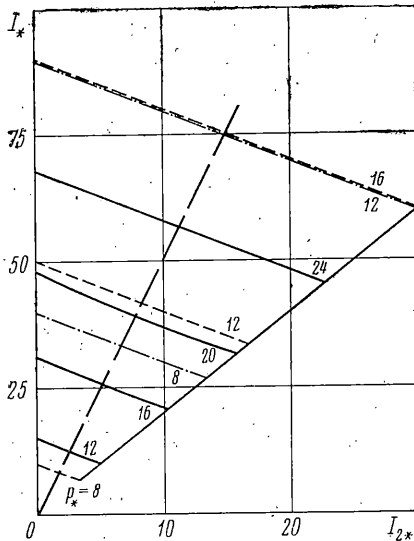
Рассмотрим случай, когда не учитывается касательное взаимодействие оболочки и ребер (заметим, что при симметричном расположении ребер относительно средин-



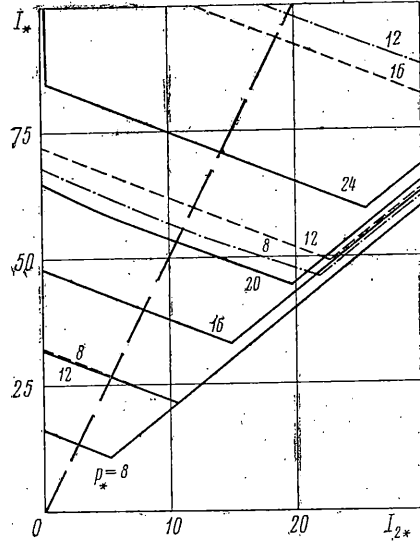
Фиг. 1



Фиг. 2



Фиг. 3



Фиг. 4

ной поверхности оболочки это допущение практически не влияет на результат [1]. Этот случай получается из общего, если положить площади ребер равными нулю, т. е. положить  $a_{kj}=0$  и  $b_{kj}=0$ . Тогда приходим к следующему характеристическому уравнению:  $b_{13}b_{23}(F_{33}^2 - \Phi_{33}^2) + (b_{13} + b_{23})F_{33} + 1 = 0$ .

В случае, когда пренебрегается касательным взаимодействием только для одного типа ребер, например, для тех, параметры которых отмечены индексом  $I$ , следует положить  $a_{12}=a_{13}=b_{12}=0$ , и характеристическое уравнение будет

$$(1 + b_{13}F_{33})[1 - 2a_{23}F_{23} - a_{22}F_{22} + b_{23}F_{33} - c(F_{22}F_{33} + F_{23}^2)] + \\ + b_{13}\Phi_{33}[c(\Phi_{23}F_{23} + F_{22}\Phi_{33}) + a_{23}\Phi_{23} - b_{23}\Phi_{33}] - \\ - b_{13}\Phi_{23}[c(F_{33}\Phi_{23} - F_{23}\Phi_{33}) + a_{22}\Phi_{23} - a_{23}\Phi_{33}] = 0 \\ c = a_{22}b_{23} - a_{23}^2$$

2. Для решения рассматриваемой задачи при отсутствии осевых сил применим упрощенное уравнение устойчивости, соответствующее приближению полубезмоментной теории. В этом случае согласно [2] имеем следующую систему однородных уравнений относительно амплитудных значений нормального перемещения  $f_i$  в местах расположения ребер:

$$2\mu^3 f_j = a_1 \sum_{i=1}^{m+1} f_{2i-1} \Psi(x_j, x_{2i-1}) + a_2 \sum_{i=1}^m f_{2i} \Psi(x_j, x_{2i}) \quad (j=1, 2, \dots, 2m+1) \quad (2.1)$$

$$\Psi(x, \xi) = \frac{\sin \mu x}{\sin \mu l} \sin \mu(l-\xi) - \frac{\operatorname{sh} \mu x}{\operatorname{sh} \mu l} \operatorname{sh} \mu(l-\xi) + [\operatorname{sh} \mu(x-\xi) - \sin \mu(x-\xi)] \sigma_0(x-\xi)$$

$$\mu^4 = n^4(n^2-1) \left[ \frac{pR}{Eh} - \frac{h^2(n^2-1)}{12(1-v^2)R^2} \right], \quad a_h = \frac{n^4(n^2-1)}{EhR} \left[ T_h - \frac{E_h I_h}{R^2} (n^2-1) \right]$$

где  $p$  — наружное давление;  $E$ ,  $v$  — модуль упругости и коэффициент Пуассона материала оболочки;  $R$ ,  $h$  — радиус и толщина оболочки;  $E_h I_h$  — изгибная жесткость ребра ( $k=1, 2$ );  $T_h$  — начальное кольцевое усилие в ребре;  $n$  — параметр волнообразования в окружном направлении;  $lR$  — длина оболочки.

Разыскивая решение системы (2.1) в виде  $f_{2r-1}=A_1 \sin(\pi N x_{2r-1}/l)$ ,  $f_{2r}=A_2 \sin(\pi N x_{2r}/l)$ , приходим к двум однородным уравнениям относительно  $A_1$  и  $A_2$

$$A_1(1-a_1 F_1) - A_2 a_2 F_2 = 0, \quad A_1 a_1 F_2 - A_2(1-a_2 F_1) = 0 \quad (2.2)$$

$$F_1 = \frac{1}{4\mu^3} \left( \frac{\sin \alpha}{\cos \alpha - \cos \beta} - \frac{\operatorname{sh} \alpha}{\operatorname{ch} \alpha - \cos \beta} \right), \quad \alpha = \frac{\mu l}{m+1}, \quad \beta = \frac{\pi N}{m+1}$$

$$F_2 = \frac{1}{2\mu^3} \cos \frac{\beta}{2} \left( \frac{\sin^{1/2} \alpha}{\cos \alpha - \cos \beta} - \frac{\operatorname{sh}^{1/2} \alpha}{\operatorname{ch} \alpha - \cos \beta} \right)$$

Приравнивая нулю определитель системы (2.2), получим характеристическое уравнение

$$a_1 a_2 (F_1^2 - F_2^2) - (a_1 + a_2) F_1 + 1 = 0 \quad (2.3)$$

Результаты расчета на основании уравнения (2.3) представлены в виде зависимостей безразмерной суммарной жесткости  $I_* = [(m+1)E_1 I_1 + m E_2 I_2]/EhR^3 10^6$  всех ребер, отражающей в определенной степени их вес, от безразмерной жесткости ребра одного из типов  $I_{2*} = E_2 I_2/EhR^3 10^6$  для различных значений параметра критического давления  $p_* = 10^5 pR/Eh$ , длины  $l$  и величины  $\varepsilon = R^2(1-v^2)/h^2$  (при  $T_h=0$ ). На фиг. 1 ( $\varepsilon=2 \cdot 10^4$ ) и фиг. 2 ( $\varepsilon=6 \cdot 10^4$ ) изображены зависимости для случая трех ребер ( $m=1$ ), при этом сплошные линии соответствуют значению  $l=6$ , пунктирные —  $l=8$  и штрих-пунктирные —  $l=10$ . На фиг. 3 и 4 приведены аналогичные зависимости для случая подкрепления оболочки пятью ребрами ( $m=2$ ). Приведенные кривые позволяют для заданного давления выбрать оптимальное (по весу) сочетание жесткостей ребер, соответствующее точкам с наименьшими ординатами кривых, и оценить получаемый при этом выигрыш в весе по сравнению с другими сочетаниями жесткостей или, например, со случаем подкрепления оболочки одинаковыми ребрами, характеризуемым на графиках точками пересечения кривых с пунктирными лучами.

Поступила 4 XI 1975

#### ЛИТЕРАТУРА

1. Малютин И. С. Устойчивость цилиндрической оболочки, подкрепленной кольцевыми ребрами, при действии внешнего давления и осевых сил. Изв. АН СССР. МТТ, 1971, № 2.
2. Малютин И. С. Об устойчивости цилиндрической оболочки, подкрепленной кольцевыми ребрами, при действии внешнего давления и осевых сил. Инж. ж. МТТ, 1968, № 6.